

Majalah Ilmiah
Informatika, Komputer, dan Bisnis

ISSN 1410 - 9158

FORMAT



Volume 10, Nomor 1, Januari 2009

Aplikasi Nilai Laporan Praktikum Online
Adi Kusjani

**Penyelesaian Model Transportasi Bikriteria
dengan Algoritma Genetik**
Ariesta Damayanti

**Survei dan Perbandingan Berbagai Software Bebas
Pembangun Ontologi**
Bambang Purnomosidi D.P.

**Aplikasi Penyelesaian Integral Rangkap Dua
Menggunakan Metode Monte Carlo**
F. Wiwiek Nurwiyati

**Implementasi Advanced Encryption Standard (AES)
(RIJNDAEL) pada Mikrokontroler Atmega 8**
Totok Budioko

**Internal Integrated Marketing Strategi untuk Meraih
Keunggulan Bersaing Jangka Panjang**
Sari Iswanti

**SEKOLAH TINGGI MANAJEMEN INFORMATIKA DAN KOMPUTER AKAKOM
YOGYAKARTA**

PELINDUNG:

Ketua Yayasan Pendidikan Widya Bakti

KETUA UMUM:

Ketua STMIK AKAKOM Yogyakarta

KETUA DEWAN REDAKSI:

Bambang P.D.P., S.E., Akt., S.Kom., M.MSi.

ANGGOTA DEWAN REDAKSI:

Ir. F. Soesianto, B. Sc. E., Ph.D.

Prof. H. Adhi Susanto, M.Sc., Ph.D.

Drs. Tri Prabawa, M.Kom.

Ir. Surjono, M.Phil.

Ir. Sudarmanto, M.T.

Ir. M. Guntara, M.T.

Ir. Totok Suprawoto, M.M.

Budi Sugihardjo, S.E., M.M.

Heru Agus Triyanto, S.E., M.M.

REDAKTUR PELAKSANA:

Indra Yatini Buryadi, S.Kom., M.Kom.

SEKRETARIS:

Al. Agus Subagyo, S.E., M.Si.

LAYOUT dan PRODUKSI:

Dison Librado, S.E., M.Kom.

SIRKULASI:

Totok Budioko, S.T.

DOKUMENTASI:

Dra. Torsinawati

Sukar

Majalah Ilmiah FORMAT diterbitkan empat bulan sekali oleh
STMIK AKAKOM dengan ISSN 1410 - 9158

Pendapat yang dinyatakan dalam majalah ini
adalah sepenuhnya pendapat pribadi

Segala sesuatu yang berhubungan dengan penerbitan majalah dapat disampaikan secara
tertulis kepada redaksi

ALAMAT REDAKSI:

STMIK AKAKOM

Jl. Raya Janti, Ring Road Timur, Yogyakarta 55198

Telepon: +62-274-486664

Faksimile: +62-274-486438 E-mail: format@netexecutive.com

Dari Redaksi

Kami panjatkan puji dan syukur atas rahmat dan berkah dari Tuhan Yang Maha Esa hingga kami dapat menyelesaikan dan menerbitkan majalah Format pada nomor pertama, tahun kesepuluh. Pada tahun yang kesepuluh ini kami mencoba untuk memperluas cakupan materi dari berbagai hasil penelitian dan karya ilmiah, namun tetap sesuai dengan misinya.

Dalam edisi ini para pembaca akan melihat topik-topik mengenai *Aplikasi Nilai Laporan Praktikum On-Line, Penyelesaian Model Transportasi Bikriteria Dengan Algoritma Genetik, Survei dan Perbandingan Berbagai Software Bebas Pembangunan Ontologi, Aplikasi Penyelesaian Integral Rangkap Dua Menggunakan Metode Monte Carlo, Implementasi Advanced Encryption Standard (AES) (RIJNDAEL) Pada Mikrokontroler Atmega 8, Internal Integrated Marketing Strategi Untuk Meraih Keunggulan Bersaing Jangka Panjang*, yang sekiranya akan menarik untuk diulas.

Harapan kami semoga apa yang kami suguhkan kali ini dapat membawa manfaat bagi peminat, dan menambah referensi pembaca pada bidang-bidang tertentu. Terima kasih diucapkan, atas saran dan masukan yang telah kami terima demi kemajuan majalah ilmiah ini. Saran, ide, dan gagasan dari para pembaca tetap kami tunggu untuk perbaikan pada penerbitan edisi mendatang di abad millenium ini.

Daftar Isi

Aplikasi Nilai Laporan Praktikum On-Line

Adi Kusjani 1

Penyelesaian Model Transportasi Bikriteria Dengan Algoritma Genetik

Ariesta Damayanti 29

Survei dan Perbandingan Berbagai Software Bebas Pembangunan Ontologi

Bambang Purnomosidi D.P. 57

Aplikasi Penyelesaian Integral Rangkap Dua

Menggunakan Metode Monte Carlo

F. Wiwiek Nurwiyati 79

Implementasi Advanced Encryption Standard (AES)

(RIJNDAEL) Pada Mikrokontroler Atmega 8

Totok Budioko 95

Internal Integrated Marketing Strategi

Untuk Meraih Keunggulan Bersaing Jangka Panjang

Budi Sugiharjo 123

6. Suarga, 2005, *Fisika Komputasi Solusi Problema Fisika dengan Matlab*, Andi, Yogyakarta.

IMPLEMENTASI ADVANCED ENCRYPTION STANDARD (AES) (RIJNDAEL) PADA MIKROKONTROLER ATMEGA 8

Oleh: Totok Budioko

ABSTRAK

Peralatan-peralatan kecil seperti pembaca dan penulis SIMCARD, kunci pintu rahasia, pengendali jarak jauh, penyimpanan data, transmisi data melalui gelombang radio membutuhkan kemampuan enkripsi/dekripsi untuk menjamin keamanan data baik pada proses penyimpanan maupun pengiriman. Peralatan-peralatan tersebut dapat direalisasikan menggunakan berbagai mikrokontroler, 8 bit, 16 bit atau 32 bit dengan arsitektur CISC atau RISC.

Implementasi algoritma enkripsi/dekripsi yang optimal pada mikrokontroler 8 bit dipengaruhi oleh jenis mikrokontroler dan algoritma enkripsi/dekripsi yang akan digunakan. Salah satu mikrokontroler yang banyak digunakan dan mudah didapat di pasaran adalah AVR ATmega 8. Sedangkan algoritma enkripsi/dekripsi yang menjadi standar enkripsi adalah Rijndael (AES)

Makalah ini membahas implementasi algoritma enkripsi/dekripsi AES (Rijndael) pada mikrokontroler ATMEGA 8.

Kata Kunci: enkripsi, dekripsi, kunci rahasia, AES, Rijndael, mikrokontroler, ATmega 8

1 PENDAHULUAN

1.1 Latar Belakang

Mikrokontroler 8 bit banyak digunakan di berbagai aplikasi semisal pembaca dan penulis SIMCARD, kunci pintu rahasia, pengendali jarak jauh, penyimpanan data, transmisi data melalui gelombang radio dan sebagainya. Beberapa aplikasi membutuhkan keamanan data ketika melakukan proses transfer data atau penyimpanan data.

Implementasi enkripsi/dekripsi pada mikrokontroler 8 bit sangat dibatasi oleh kemampuan sumber daya mikrokontroler tersebut terutama kapasitas memori dan kecepatan eksekusi. Kapasitas memori membatasi panjang kode program yang diimplementasikan sedangkan kecepatan eksekusi membatasi perolehan data terenkripsi perdetiknya. Algoritma enkripsi/dekripsi AES (Rijndael) mempunyai keunggulan karena sebagian besar operasinya berdasarkan data 8 bit sehingga dapat diimplementasikan pada mikrokontroler 8 bit dengan efisien.

Salah satu mikrokontroler AVR adalah seri ATmega 8. Mikrokontroler ini merupakan mikrokontroler 8 bit dengan arsitektur RISC dengan memori program 4 kword (8 kbyte), 1 kbyte RAM. Kecepatan eksekusinya sampai 16 MIPS pada *clock* 16 MHz. Kemasan mikrokontroler ini salah satunya adalah DIP 20 sehingga cukup kecil untuk implemetasi pada aplikasi-aplikasi rumahan (*home application*).

1.2 Rumusan Masalah

Implementasi rutin enkripsi dan dekripsi pada mikrokontroler 8 bit harus memperhatikan sumber daya yang dimiliki agar dapat memenuhi batasan yang dimiliki terutama kapasitas memori dan kecepatan eksekusi. Oleh karena itu rumusan masalahnya adalah bagaimana cara mengimplementasikan algoritma enkripsi dan dekripsi AES (Rijndael) pada mikrokontroler ATMEL AVR ATmega 8 agar memenuhi batasan kapasitas memori dan kecepatan eksekusi.

1.3 Batasan Masalah

Pembahasan pada makalah ini dibatasi pada:

- implementasi rutin enkripsi dan dekripsi AES (Rijndael) untuk masukan dan keluaran 128 bit dengan kunci rahasia 128 bit,
- pengujian rutin enkripsi dan dekripsi AES (Rijndael) menggunakan simulator AVR Studio 4.7 untuk target mikrokontroler AVR ATmega 8,
- data pengujian menggunakan data *testbench* dari Dr Brian Gladman baik masukan maupun keluaran dari masing-masing transformasi.^[2]

2 DASAR TEORI

2.1 Spesifikasi Advanced Encryption Standard (AES) Rijndael

Pada awal Agustus 1999, NIST memilih lima algoritma yang akan digunakan sebagai standar, yaitu Mars, RC6, Rijndael, Serpent, dan Twofish. Dari kelima kandidat tersebut Rijndael ditetapkan sebagai standar pada tahun 2001^[3].

2.1.1 Masukan, Keluaran, dan Kunci Rahasia

Pada algoritma Rijndael masukan, keluaran, dan kunci rahasia merupakan runtun bit yang terdiri atas 128, 192, atau 256 bit dengan ketentuan panjang masukan dan keluarannya sama. AES menetapkan masukan dan keluaran sebesar 128 bit sedangkan untuk kunci rahasia baik AES dan Rijndael memperbolehkan ketiganya.^[2]

2.1.2 Byte

Pada algoritma Rijndael byte terdiri atas 8 bit yang dapat berupa 0 atau 1. Byte merupakan satuan dasar pada semua operasi *cipher*. Untuk operasi *cipher*, byte dapat dinyatakan dalam runtun bilangan Biner, Heksadesimal, atau dalam bentuk Polinomial yang diinterpretasikan sebagai elemen medan terbatas (*finite field elements*).

Contoh:

- { 01110011 } ; notasi bentuk biner senilai 115
- { 73 } ; notasi bentuk Heksadesimal senilai 115
- $X^6 + X^5 + X^4 + X + 1$; bentuk polynomial senilai 115

2.1.3 Larik Byte

Masukan, keluaran, dan kunci rahasia merupakan runtun bit yang dinyatakan sebagai larik byte satu dimensi. Byte ke n berisi bit dari $8n$ sampai dengan $8n+7$. Pada masing-masing byte, bit ke $8n+i$ menjadi bit ke $7-i$ pada byte yang bersangkutan dengan $0 \leq i < 8$. Runtun bit berawal dari kiri ke kanan dimulai dari nol.

Contoh:

Runtun bit:

01001101 10111001 10101001 10100111 11110010

byte 0 byte 1 byte 2 byte 3 byte 4

byte 0 : bit ke 0 s/d bit ke 7 byte 3 : bit ke 24 s/d bit ke 31

byte 1 : bit ke 8 s/d bit ke 15 byte 4 : bit ke 32 s/d bit ke 39

byte 2 : bit ke 16 s/d bit ke 23

kemudian pada masing masing byte, bit ke $8n+i$ dipetakan ke $7-i$

contoh:

byte 2:

bit ke 16 menjadi bit ke 7

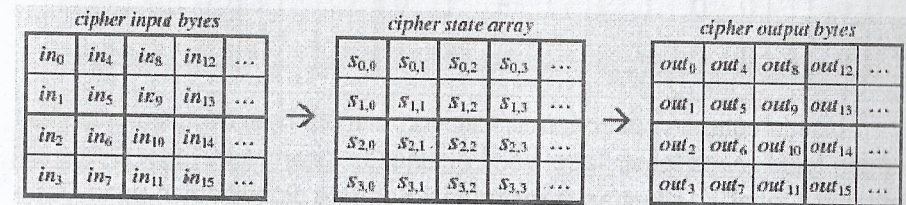
bit ke 17 menjadi bit ke 6

bit ke 18 menjadi bit ke 5, dst

Jadi pada masing-masing byte, paling kiri merupakan bit yang paling berbobot (MSB) dan paling kanan merupakan bit yang paling tidak berbobot (LSB).

2.1.4 State AES (Rijndael)

Secara internal algoritma AES (Rijndael) beroperasi dengan menggunakan larik byte dua dimensi yang disebut *state* yang terdiri atas empat baris dan N_c kolom, dengan N_c merupakan hasil bagi dari panjang masukan (*message block*) dengan 32. Setiap *state* dialamati dengan baris dan kolom, baris dinyatakan dengan r dan kolom dinyatakan dengan c , jadi setiap *state* akan berbentuk seperti $s[r,c]$. Nilai r bernilai $0 \leq r \leq 3$ dan c bernilai $0 \leq c \leq N_c$. Masukan *cipher* yang berbentuk larik satu dimensi dikopikan ke dalam bentuk *state* dan dikeluarkan kembali dalam bentuk larik satu dimensi dengan susunan seperti pada Gambar 2.1.



Gambar 2.1 Masukan, State dan Keluaran .^{[1][2]}

2.2 Transformasi Pada Proses Enkripsi AES

Ada empat transformasi yang digunakan pada proses enkripsi, yaitu Transformasi SubBytes, Transformasi ShiftRows, Transformasi MixColumns, dan Transformasi XorRoundKey.

2.2.1 Transformasi SubBytes

Transformasi SubBytes merupakan substitusi byte tidak linier yang dilakukan pada setiap byte *state* untuk menghasilkan nilai baru. Transformasi SubByte terdiri atas dua transformasi yaitu:

1. perkalian inverse pada GF(256), dan
2. *affine transformation* pada GF(2)

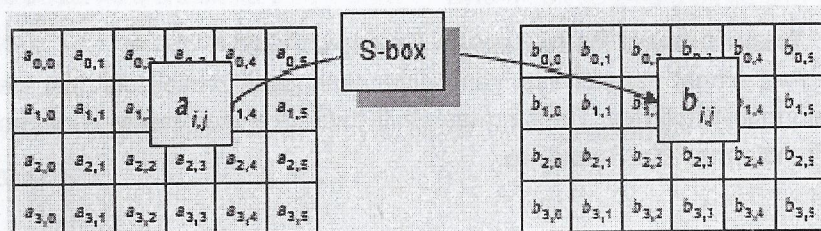
dua transformasi tersebut didefinisikan sebagai berikut:

$$b_i = b_i \oplus b_{(i+4) \bmod 8} \oplus b_{(i+5) \bmod 8} \oplus b_{(i+6) \bmod 8} \oplus b_{(i+7) \bmod 8} \oplus c_i \quad (2.1)^{[2]}$$

dengan c bernilai 0x63. Bentuk matriknya adalah sebagai berikut.

$$\begin{bmatrix} y_0 \\ y_1 \\ y_2 \\ y_3 \\ y_4 \\ y_5 \\ y_6 \\ y_7 \end{bmatrix} = \begin{bmatrix} 1 & 0 & 0 & 0 & 1 & 1 & 1 & 1 \\ 1 & 1 & 0 & 0 & 0 & 1 & 1 & 1 \\ 1 & 1 & 1 & 0 & 0 & 0 & 1 & 1 \\ 1 & 1 & 1 & 1 & 0 & 0 & 0 & 1 \\ 1 & 1 & 1 & 1 & 1 & 0 & 0 & 0 \\ 0 & 1 & 1 & 1 & 1 & 1 & 0 & 0 \\ 0 & 0 & 1 & 1 & 1 & 1 & 1 & 0 \\ 0 & 0 & 0 & 1 & 1 & 1 & 1 & 1 \end{bmatrix} \begin{bmatrix} x_0 \\ x_1 \\ x_2 \\ x_3 \\ x_4 \\ x_5 \\ x_6 \\ x_7 \end{bmatrix} + \begin{bmatrix} 1 \\ 1 \\ 0 \\ 0 \\ 0 \\ 1 \\ 1 \\ 0 \end{bmatrix} \quad (2.2)^{[2]}$$

Untuk mempercepat operasi, transformasi SubByte diimplementasikan dengan teknik baca tabel. Tabel yang digunakan dinamakan Tabel S-Box seperti pada Tabel 2.1. Ilustrasi transformasi SubByte diperlihatkan pada Gambar 2.2.



Gambar 2.2 Ilustrasi Substitusi SubByte ^[1]

Tabel 2.1 Tabel Substitusi S-box (S-box[xy] dengan xy dalam Heksadesimal)^[2]

hex	y															
	0	1	2	3	4	5	6	7	8	9	a	b	c	d	e	f
0	63	7c	77	7b	f2	6b	6f	c5	30	01	67	2b	fe	d7	ab	76
1	ca	82	c9	7d	fa	59	47	f0	ad	d4	a2	af	9c	a4	72	c0
2	b7	fd	93	26	36	3f	f7	cc	34	a5	e5	f1	71	d8	31	15
3	04	c7	23	c3	18	96	05	9a	07	12	80	e2	eb	27	b2	75
4	09	83	2c	1a	1b	6e	5a	a0	52	3b	d6	b3	29	e3	2f	84
5	53	d1	00	ed	20	fc	b1	5b	6a	cb	be	39	4a	4c	58	cf
6	d0	ef	aa	fb	43	4d	33	85	45	f9	02	7f	50	3c	9f	a8
7	51	a3	40	8f	92	9d	38	f5	bc	b6	da	21	10	ff	f3	d2
8	cd	0c	13	ec	5f	97	44	17	c4	a7	7e	3d	64	5d	19	73
9	60	81	4f	dc	22	2a	90	88	46	ee	b8	14	de	5e	0b	db
a	e0	32	3a	0a	49	06	24	5c	c2	d3	ac	62	91	95	e4	79
b	e7	c8	37	6d	8d	d5	4e	a9	6c	56	f4	ea	65	7a	ae	08
c	ba	78	25	2e	1c	a6	b4	c6	e8	dd	74	1f	4b	bd	8b	8a
d	70	3e	b5	66	48	03	f6	0e	61	35	57	b9	86	c1	1d	9e
e	e1	f8	98	11	69	d9	8e	94	9b	1e	87	e9	ce	55	28	df
f	8c	a1	89	0d	bf	e6	42	68	41	99	2d	0f	b0	54	bb	16

2.2.2 Transformasi ShiftRows

Transformasi ShiftRows dilakukan pada tiga baris terakhir, yaitu baris 1, 2, dan 3 (baris dimulai dari 0) menggunakan pergeseran siklis sebagai berikut:

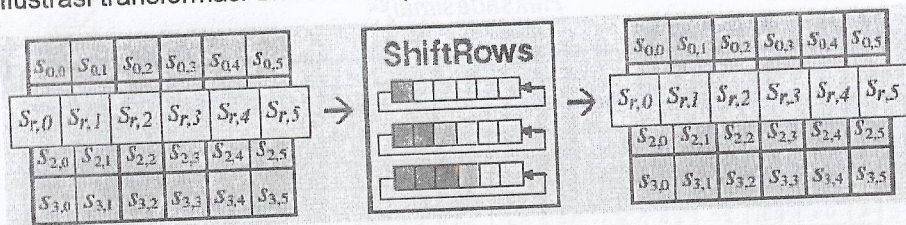
$$S'_{r,c} = S_r = S_{r, [c+h(r,N_c)] \bmod N_c} \quad \text{untuk } 0 \leq c < N_c \text{ dan } 0 < r < 4 \quad (2.3)^{[1]}$$

dengan $h(r,N_c)$ tergantung pada jumlah baris (r) dan panjang blok (N_c) seperti pada Tabel 2.2.

Tabel 2.2 Jumlah Pergeseran $h(r,N_c)^{[1][2]}$

$h(r, N_c)$		row (r)		
		1	2	3
N_c	4	1	2	3
	6	1	2	3
	8	1	3	4

Ilustrasi transformasi ShiftRows diperlihatkan pada Gambar 2.3.



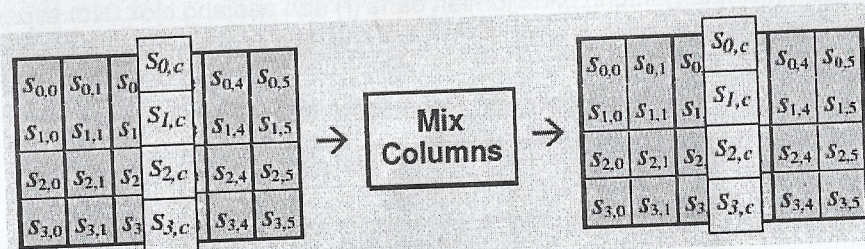
Gambar 2.3 Ilustrasi Transformasi ShiftRows^{[1][2]}

2.2.3 Transformasi MixColumns

Transformasi MixColumns bekerja secara mandiri pada setiap kolom pada *state*. Transformasi MixColumns dihitung berdasarkan matriks polinomial sebagai berikut:

$$\begin{bmatrix} s_{3,c} \\ s_{2,c} \\ s_{1,c} \\ s_{0,c} \end{bmatrix} = \begin{bmatrix} 02 & 01 & 01 & 03 \\ 03 & 02 & 01 & 01 \\ 01 & 03 & 02 & 01 \\ 01 & 01 & 03 & 02 \end{bmatrix} \begin{bmatrix} s_{3,c} \\ s_{2,c} \\ s_{1,c} \\ s_{0,c} \end{bmatrix} \text{ for } 0 \leq c < N_c \quad (2.4)^{[1][2]}$$

Ilustrasi transformasi MixColumns diperlihatkan pada Gambar 2.4.



Gambar 2.4 Ilustrasi Transformasi MixColumns^{[1][2]}

2.2.4 Transformasi XorRoundKey

Pada transformasi XorRoundKey N_c kolom pada hasil ekspansi kunci rahasia dijumlahkan (di-XOR-kan) dengan kolom pada *state* sehingga

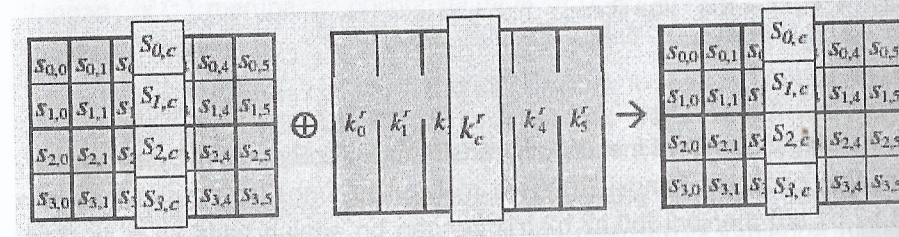
$$[b'_{3c} \ b'_{2c} \ b'_{1c} \ b'_{0c}] = [b_{3c} \ b_{2c} \ b_{1c} \ b_{0c}] \text{ XOR } [k_{\text{round},c}] \text{ untuk } 0 \leq c < N_c \quad (2.5)^{[2]}$$

$[k_{\text{round},c}]$ adalah kunci rahasia yang telah diekspansi, *round* bernilai $0 \leq \text{round} \leq N_n$. N_0 merupakan inisial *round* yang digunakan sebelum iterasi *round*. N_n adalah jumlah *round* yang nilainya ditentukan dengan panjang blok (N_c) dan kunci rahasia (N_k) seperti Tabel 2.3.

Tabel 2.3 Jumlah Round (N_n) Sesuai Jumlah N_c dan N_k ^{[1][2]}

N_n		N_c		
		4	6	8
N_k	4	10	12	14
	6	12	12	14
	8	14	14	14

Ilustrasi transformasi XorRoundKey diperlihatkan pada Gambar 2.5.

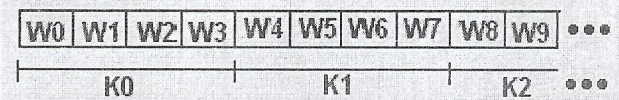


Gambar 2.5 Ilustrasi Transformasi XorRoundKey^[2]

2.3 Ekspansi Kunci Rahasia

Kunci rahasia diekspansi secara terpisah dan dilakukan pada saat awal, sebelum dilakukan proses enkripsi dan dekripsi. Kunci rahasia yang diekspansi digunakan pada proses enkripsi secara maju dan pada proses

dekripsi secara mundur. Susunan hasil ekspansi kunci rahasia diperlihatkan seperti Gambar 2.6.



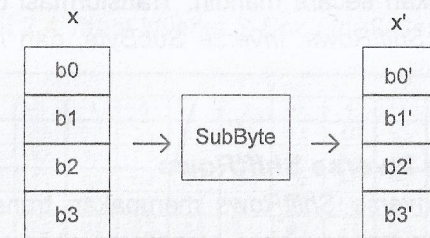
Gambar 2.6 Susunan Hasil Ekspansi Kunci Rahasia^{[1][2]}

W_n adalah kolom kunci rahasia hasil ekspansi yang terdiri atas empat buah baris. K_n adalah kunci rahasia pada *round* ke n . K_n berisi 4 word dari $W[Nb \cdot i]$ sampai $W[Nb \cdot (i+1)]$.

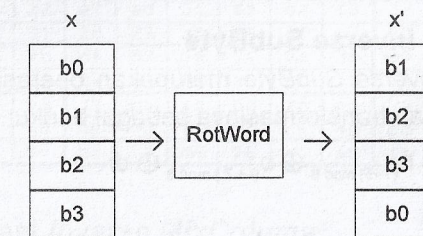
Pseudocode ekspansi kunci rahasia adalah sebagai berikut^{[1][2]}:

```
KeyExpansion(byte Key[ 4*Nk] , word W[ Nb* (Nr+1)])
{
  for(i = 0; i < Nk; i++)
    W[i] = (Key[ 4*i] , Key[ 4*i+1] , Key[ 4*i+2] , Key[ 4*i+3] );
  for(i = Nk; i < Nb * (Nr + 1); i++)
  {
    temp = W[i - 1];
    if (i % Nk == 0)
      temp = SubWord(RotByte(temp)) XOR Rcon[i / Nk];
    W[i] = W[i - Nk] XOR temp;
  }
}
```

Fungsi SubWord melakukan transformasi SubByte pada byte yang disesuaikan pada k_n . Fungsi RotWord melakukan fungsi rotasi dari masukan $[b_3, b_2, b_1, b_0]$ menjadi $[b_0, b_3, b_2, b_1]$ dengan b_n adalah baris ke n . Ilustrasi fungsi SubWord dan RotWord diperlihatkan pada Gambar 2.7 dan 2.8.



Gambar 2.7 Ilustrasi Fungsi SubWord



Gambar 2.8 Ilustrasi Fungsi RotWord

Sedangkan larik $Rcon[y]$ dengan $y = i/Nk$ berisi nilai $[0, 0, 0, x^{y-1}]$ dengan x^{y-1} merupakan polinomial pada $GF(256)$. Indeks y dimulai dari 1.

Contoh:

$y = 1$, berarti x^0 dalam bentuk biner = 00000001
 $y = 2$, berarti x^1 dalam bentuk biner = 00000010
 $y = 9$, berarti x^8 dalam bentuk biner = 100000000

(karena keluar dari $GF(256)$ maka perlu dikoreksi dengan cara meng- XOR kan dengan $0x1b$ atau 00011011 sehingga hasilnya untuk $y=9$ adalah 00011011).

2.4 Transformasi pada Dekripsi

Transformasi antara enkripsi dan dekripsi sebagian besar berbeda, hanya transformasi *XorRoundKey* saja yang sama. Hal ini merupakan salah satu kelemahan ketika implementasi karena kode program enkripsi dan dekripsi

harus diimplementasikan secara mandiri. Transformasi dekripsi terdiri atas transformasi *Inverse ShiftRows*, *Inverse SubByte*, dan *Inverse MixColumns* dan *XorRoundKey*.

2.4.1 Transformasi *Inverse ShiftRows*

Transformasi *Inverse ShiftRows* merupakan transformasi balik dari transformasi *ShiftRows* menggunakan pergeseran siklis sebagai berikut:

$$S'_{r,[c+h(r,Nc)] \bmod Nc} = S_{r,c} \text{ untuk } 0 \leq c < Nc \text{ dan } 0 < r < 4 \quad (2.6)^{[1][2]}$$

2.4.2 Transformasi *Inverse SubByte*

Transformasi *Inverse SubByte* merupakan operasi balikan dari Sub-Byte dengan persamaan transformasinya sebagai berikut.

$$b'_i = b_{(i+2) \bmod 8} \oplus b_{(i+5) \bmod 8} \oplus b_{(i+7) \bmod 8} \oplus d_i \quad (2.7)^{[2]}$$

dengan $d=0x05$

Transformasi *Inverse SubByte* diimplementasikan menggunakan tabel inversi S-Box (Tabel 2.4).

Tabel 2.4 Tabel Inverse S-Box (*InvS-Box*[*xy*])^{[1][2]}

hex	y															
	0	1	2	3	4	5	6	7	8	9	a	b	c	d	e	f
0	52	09	6a	d5	30	36	a5	39	bf	40	a2	9e	81	f3	d7	fb
1	7c	e3	39	82	9b	2f	ff	87	34	8e	43	44	c4	de	e9	cb
2	54	7b	94	32	a6	c2	23	3d	ee	4c	95	0b	42	fa	c3	4e
3	08	2e	a1	66	28	d9	24	b2	76	5b	a2	49	6d	8b	d1	25
4	72	fb	f6	64	86	68	98	16	d4	a4	5c	cc	5d	65	b6	92
5	6c	70	48	50	fd	ed	b9	da	5e	15	46	57	a7	8d	9d	84
6	90	d8	ab	00	8c	bc	d3	0a	f7	e4	58	05	b8	b3	45	06
7	d0	2c	1e	8f	ca	3f	0f	02	c1	af	bd	03	01	13	8a	6b
8	3a	91	11	41	4f	67	dc	ea	97	f2	cf	ce	f0	b4	e6	73
9	96	ac	74	22	e7	ad	35	85	e2	f9	37	e8	1c	75	dr	6e
a	47	f1	1a	71	1d	29	c5	89	6f	b7	62	0e	aa	18	be	1b
b	fc	56	3e	4b	c6	d2	79	20	9a	db	c0	7a	78	cd	5a	f4
c	1f	dd	a8	33	88	07	c7	31	b1	12	10	59	27	80	ec	5f
d	60	51	7f	a9	19	b5	4a	0d	2d	e5	7a	9f	93	c9	9c	ef
e	a0	e0	3b	4d	ae	2a	f5	b0	c8	eb	bb	3c	83	53	99	61
f	17	2b	04	7a	ba	77	d6	26	ad	69	14	63	55	21	0c	7d

2.4.3 Transformasi *Inverse MixColumns*

Transformasi *inverse MixColumns* menggunakan matriks sebagai berikut:

$$\begin{bmatrix} s_{3c} \\ s_{2c} \\ s_{1c} \\ s_{0c} \end{bmatrix} = \begin{bmatrix} 0e & 09 & 0d & 0b \\ 0b & 0e & 09 & 0d \\ 0d & 0b & 0e & 09 \\ 09 & 0d & 0b & 0e \end{bmatrix} \begin{bmatrix} s_{3c} \\ s_{1c} \\ s_{1c} \\ s_{0c} \end{bmatrix} \text{ for } 0 \leq c < Nc \quad (2.8)^{[1][2]}$$

2.5 Algoritma Enkripsi

Algoritma enkripsi AES dimulai dengan mengkopikan masukan enkripsi (*block message*) ke *internal state*, kemudian dilakukan proses XOR dengan initial kunci rahasia (*initial round*), selanjutnya dilakukan proses *round* dengan iterasi berdasarkan panjang *block message* dan kunci rahasia, dan diakhiri dengan *final round*. Hasil keluaran dapat dikopikan ke *state* keluaran. *Pseudo-code* algoritma AES seperti berikut ini:


```

Enkripsi (State, EkspanKey)
{
  XorRoundKey (state, K0)
  for (round = 1; round < 10; round++)
  {
    SubBytes (state)
    ShiftRows (state)
    MixColumns (state)
    XorRoundKey (state, K(round))
  }
  SubBytes (state)
  ShiftRows (state)
  XorRoundKey (state, K10)
}

```

2.6 Algoritma Dekripsi

Proses dekripsi melakukan proses balik, masukan *chip*er diproses dengan kunci rahasia secara mundur. *Pseudocode* algoritma dekripsi adalah sebagai berikut:

```

Dekripsi (State, EkspanKey)
{
  XorRoundKey (state, K10)
  for (round = 9; round > 0; round--)
  {
    InvShiftRows (state)
    InvSubBytes (state)
    XorRoundKey (state, K(round))
    InvMixColumns (state)
  }
  InvShiftRows (state)
  InvSubBytes (state)
  XorRoundKey (state)
}

```

2.7 Mikrokontroler ATMEL AVR ATmega 8

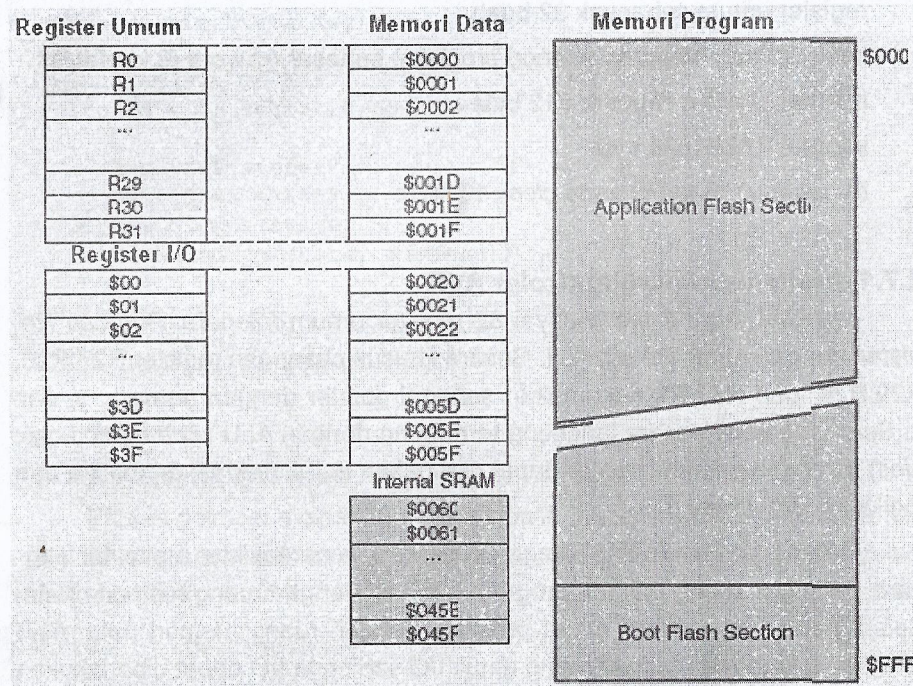
Mikrokontroler ATMEL AVR ATmega 8 merupakan mikrokontroler berbasis RISC yang diproduksi oleh ATMEL. Spesifikasi umum dari mikrokontroler ini adalah:

- register umum sebanyak 32 buah
- internal *flash memory* (memori program) sebesar 4 kword (8 kbyte)
- internal eeprom sebesar 512 byte
- internal RAM 1024 byte
- *throughput* 16 MIPS pada *clock* 16 MHz

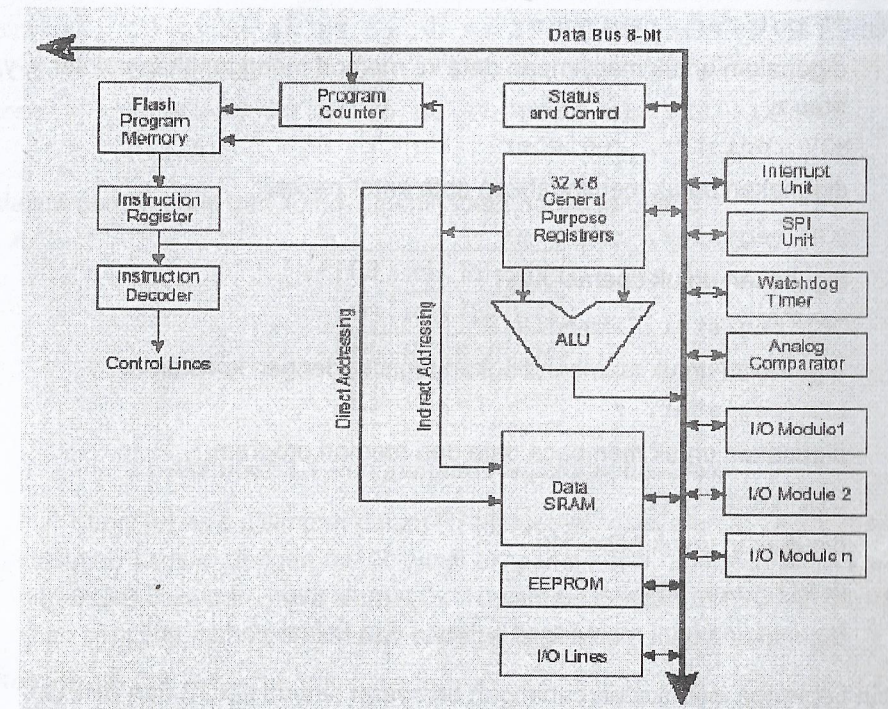
2.7.1 Arsitektur Mikrokontroler AVR

AVR ATmega 8 mempunyai 32 register umum (*General Purpose Register* dengan nama R0 s/d R31. Secara khusus pasangan register R27:R26, R29:R28, dan R31:R30 digunakan sebagai pointer dengan nama x, y, dan z. Semua register secara langsung terhubung dengan ALU (*Arithmetic Logic Unit*) sehingga semua register dapat digunakan untuk operasi aritmatika dan logika secara langsung.

Mikrokontroler AVR ATmega 8 mengimplementasikan arsitektur Harvard, sehingga ruang memori program terpisah dengan ruang memori data. Selain pemisahan antara ruang program dengan ruang memori data, AVR ATmega 8 juga mempunyai ruang untuk I/O sehingga I/O dapat diperlakukan sebagai I/O maupun memori data. Organisasi memori dan I/O untuk mikrokontroler AVR ATmega 8 diperlihatkan pada Gambar 2.9. Sedangkan arsitektur intinya diperlihatkan pada Gambar 2.10.



Gambar 2.9 Organisasi Memori ATmega 8



Gambar 2.10 Arsitektur Inti Mikrokontroler AVR AT Mega 8

2.7.2 Set Instruksi

Beberapa instruksi yang digunakan antara lain:

- **LDI register, immediate**
digunakan untuk memberi nilai register. Register yang diperbolehkan adalah R16 s/d R31.
- **LD register, pointer**
digunakan untuk membaca data dari memori secara tak langsung menggunakan pointer x, y, atau z.

- ST pointer, register
digunakan untuk menyimpan data ke memori menggunakan pointer x, y, atau z.
- MOV register, register
digunakan untuk memindahkan data antar register.
- EOR register, register
digunakan untuk operasi XOR.
- CPI register, immediate
digunakan untuk membandingkan register dengan konstanta.
- LPM register, z
digunakan untuk membaca data dari memori program.
- LSL register
digunakan untuk geser kiri.
- RCALL dan RET
digunakan untuk memanggil subrutin dan keluar dari subrutin.

dan beberapa instruksi percabangan bersyarat seperti BRCC dan BREQ.

3 IMPLEMENTASI

3.1 Penggunaan Bahasa Pemrograman dan Tools

Rutin enkripsi dan dekripsi diimplementasikan menggunakan bahasa asembly AVR. Sedangkan editor, assembler, dan simulator menggunakan AVR Studio 4.7 dari ATMEL.

3.2 Penggunaan Register dan Memori

Masukan *plaintext*, *state*, dan keluaran *chip* menggunakan register yang sama yaitu R0 s/d R15. Sehingga sebelum memanggil subrutin enkripsi dan dekripsi, blok masukan *plaintext* dikopikan ke dalam register R0 s/d R15 dengan urutan sebagai berikut:

Input : 32 43 f6 a8 88 5a 30 8d 31 31 98 a2 e0 37 07
34
reg : R0 R1 R2 R3 R4 R5 R6 R7 R8 R9 R10 R11 R12 R13
R14 R15

dalam bentuk baris dan kolom diperlihatkan pada Gambar 3.1.

R0	R4	R8	R12
R1	R5	R9	R13
R2	R6	R10	R14
R3	R7	R11	R15

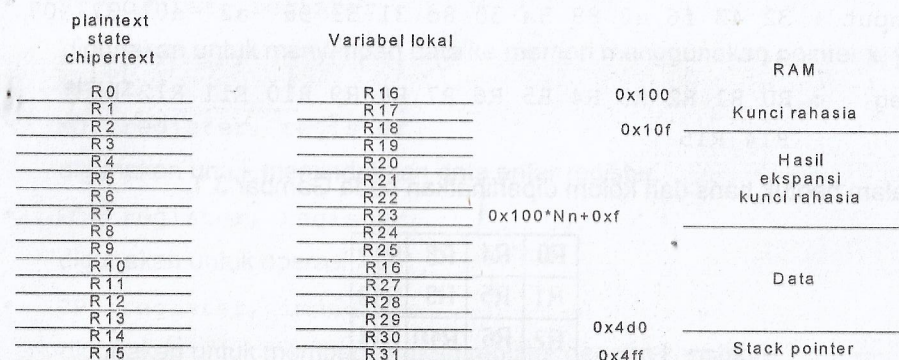
Gambar 3.1 Penggunaan Register untuk State

Kunci rahasia disimpan dalam RAM internal mulai alamat 0x100 (heksadesimal) sampai dengan 0x10f. Hasil ekspansi kunci rahasia (round 1 s/d round 0x0a) disimpan mulai alamat 0x110 sampai dengan $0x110 * 0x0a + f$. Urutan penyimpanan kunci rahasia sebagai berikut:

Key = 2b 7e 15 16 28 ae d2 a6 ab f7 15 88 09 cf 4f
3c

alm 0x100 s/d 0x10f

Register R16 s/d R31 digunakan untuk variabel lokal pada subrutin-subrutin di bawahnya. Seluruh operasi mengeksploitasi penggunaan register agar didapatkan kecepatan operasi yang tinggi. Ilustrasi penggunaan register dan memori diperlihatkan pada Gambar 3.2.



Gambar 3.2 Ilustrasi Penggunaan Register dan RAM Internal

3.3 Rutin Enkripsi dan Dekripsi

Rutin enkripsi terdiri atas subrutin-subrutin *initial round*, *iteration round*, dan *final round* sebagai berikut:

```
rijndael_enkrip:
    rcall initial_round
    rcall sembilan_round
    rcall final_round
    ret
```

Pada subrutin *initial_round* melakukan operasi XOR antara *plaintext* dengan kunci rahasia (K0) (*exorkey*). Subrutin *sembilan_round* melakukan operasi *subbyte*, *shift row*, *mixcol*, dan *xorkey* dengan K1 sampai dengan K9. Subrutin *final_round* melakukan operasi *subbyte*, *shift row*, dan *xorkey* dengan K10.

Sedangkan rutin dekripsi akan melakukan fungsi sebaliknya:

```
rijndael_dekrip:
    rcall inv_initial_round
    rcall inv_sem_round
    rcall inv_final_round
    ret
```

4 HASIL SIMULASI DAN PENGUJIAN

4.1 Vektor Test dan Metoda Pengujian

Hasil implementasi disimulasikan dan diuji dengan menggunakan simulator AVR Studio 4.7 dengan vektor test dari Brian Gladman^[2] sebagai berikut:

Input = 3243f6a8885a308d313198a2e0370734 (pi * 2¹²⁴)
Key = 2b7e151628aed2a6abf7158809cf4f3c (e * 2¹²⁴)

round number	start of round	after subbytes	after shiftrows	after mixcolumns	round key value
input	32 88 31 e0 43 5a 31 37 f6 30 98 07 a8 8d a2 34				2b 28 ab 09 7e ae f7 cf 15 d2 15 4f 16 a6 88 3c
1	19 a0 9a e9 3d f4 c6 f8 e3 e2 8d 48 be 2b 2a 08	d4 e0 b8 1e 27 bf b4 41 11 98 5d 52 ae f1 e5 30	d4 e0 b8 1e bf b4 41 27 5d 52 11 98 30 ae f1 e5	04 e0 48 28 66 cb f8 06 81 19 d3 26 e5 9a 7a 4c	a0 88 23 2a fa 54 a3 6c fe 2c 39 76 17 b1 39 05
2	a4 68 6b 02 9c 9f 5b 6a 7f 35 ea 50 f2 2b 43 49	49 45 7f 77 de db 39 02 d2 96 87 53 89 f1 1a 3b	49 45 7f 77 db 39 02 de 87 53 d2 96 3b 89 f1 1a	58 1b db 1b 4d 4b e7 6b ca 5a ca b0 f1 ac a8 e5	f2 7a 59 73 c2 96 35 59 95 b9 80 f6 f2 43 7a 7f
3	aa 61 22 58 9f dd d2 32 5f e3 4a 46 03 ef d2 9a	ac ef 13 45 73 c1 b5 23 cf 11 d6 5a 7b df b5 b8	ac ef 13 45 c1 b5 23 73 d6 5a cf 11 b8 7b df b5	75 20 53 bb ec 0b c0 25 09 63 cf d0 93 33 7c dc	3d 47 1e 6d 80 16 23 7a 47 fe 7e 88 7d 3e 44 3b
4	48 67 4d d6 6c 1d e3 5f 4e 9d b1 58 ee 0d 38 e7	52 85 e3 f6 50 a4 11 cf 2f 5e c8 6a 28 d7 07 94	52 85 e3 f6 a4 11 cf 50 c8 6a 2f 5e 94 28 d7 07	0f 60 6f 5e d6 31 c0 b3 da 38 10 13 a9 bf 6b 01	ef a8 b6 db 44 52 71 0b a5 5b 25 ad 41 7f 3b 00
5	e0 c8 d9 85 92 63 b1 b8 7f 63 35 be e8 c0 50 d1	e1 e8 35 97 4f fb c8 6c d2 fb 96 ae 9b ba 53 7c	e1 e8 35 97 fb c8 6c 4f 96 ae d2 fb 7c 9b ba 53	25 bd b6 4c d1 11 3a 4c a9 d1 33 c0 ad 68 8e b0	d4 7c ca 11 d1 83 f2 f9 c6 9d b8 15 f8 87 bc bc
6	f1 c1 7c 5d 00 92 c8 b5 6f 4c 8b d5 55 ef 32 0c	a1 78 10 4c 63 4f e8 d5 a8 29 3d 03 fc df 23 fe	a1 78 10 4c 4f e8 d5 63 3d 03 a8 29 fe fc df 23	4b 2c 33 37 86 4a 9d d2 8d 89 f4 18 6d 80 e8 d8	6d 11 db ca 88 0b e9 00 a3 3e 86 93 7a fd 41 fd
7	26 3d e8 fd 0e 41 64 d2 2e b7 72 8b 17 7d a9 25	f7 27 9b 54 ab 83 43 b5 31 a9 40 3d f0 ff d3 3f	f7 27 9b 54 83 43 b5 ab 40 3d 31 a9 3f f0 ff d3	14 46 27 3a 15 16 46 2a b5 15 56 d8 bf ec d7 43	4e 5f 84 4e 54 5f a6 a6 f7 c9 4f dc 0e f3 b2 4f

8

5a 19 a3 7a	be d4 0a da	be d4 0a da	00 b1 54 fa	ea b5 31 7f
41 49 e0 8c	83 3b e1 64	3b e1 64 83	51 c8 76 1b	d2 8d 2b 8d
42 dc 19 04	2c 86 d4 f2	d4 f2 2c 86	2f 89 6d 99	73 ba f5 29
b1 1f 65 0c	c8 c0 4d fe	fe c8 c0 4d	d1 ff cd ea	21 d2 60 2f

9

ea 04 65 85	87 f2 4d 97	87 f2 4d 97	47 40 a3 4c	ac 19 28 57
83 45 5d 96	ec 6e 4c 90	6e 4c 90 ec	37 d4 70 9f	77 fa d1 5c
5c 33 98 b0	4a c3 46 e7	46 e7 4a c3	94 e4 3a 42	66 dc 29 00
f0 2d ad c5	8c d8 95 a6	a6 8c d8 95	ed a5 a6 bc	f3 21 41 6e

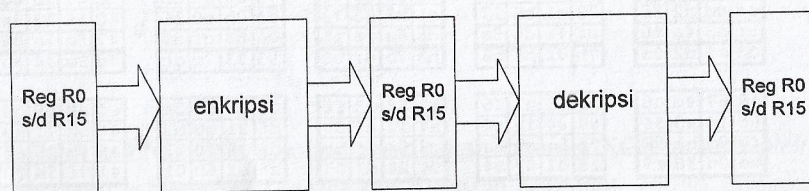
10

eb 59 8b 1b	e9 cb 3d af	e9 cb 3d af		d0 c9 e1 b6
40 2e a1 c3	09 31 32 2e	31 32 2e 09		14 ee 3f 63
f2 38 13 42	89 07 7d 2c	7d 2c 89 07		f9 25 0c 0c
1e 84 e7 d2	72 5f 94 b5	b5 72 5f 94		a8 89 c8 a6

Output

39 02 dc 19
25 dc 11 6a
84 09 85 0b
1d fb 97 32

Metode pengujian rutin enkripsi dan dekripsi diperlihatkan pada Gambar 4.1. Hasil pada setiap transformasi disimpan pada R0 s/d R15 sebagai state.



Gambar 4.1 Metode Pengujian Rutin Enkripsi dan Dekripsi

4.2 Hasil Simulasi dan Pengujian

4.2.1 Hasil Ekspansi Kunci Rahasia

Hasil ekspansi kunci rahasia diperlihatkan pada Gambar 4.2.

Data		8/16		abc.		Address: 0x100		Cols: Auto	
000100	2B 7E 15 16	28 AE D2 A6	AB F7 15 88	09 CF 4F 3C	AO FA FE 17				
000114	88 54 2C E1	23 A3 39 39	2A 6C 76 05	F2 C2 95 F2	7A 46 B9 43				
000128	59 35 80 7A	73 59 F6 7F	3D 80 47 7D	47 16 FE 3E	1E 23 7E 44				
00013C	6D 7A 80 3B	EF 44 A5 41	A8 52 5B 7F	B6 71 25 3B	DB 0B AD 00				
000150	D4 D1 C6 F8	7C 83 9D 87	CA F2 B8 BC	11 E9 15 EC	6D 88 A3 7A				
000164	11 0B 3E FD	DB F9 86 41	CA 00 93 FD	4E 54 E7 0E	5F 57 C9 F3				
000178	84 A6 4F B2	4E A6 DC 4F	EA D2 73 21	B8 8D BA D2	31 2B F5 60				
00018C	F 0D 29 2F	AC 77 66 F3	19 FA DC 21	28 D1 23 41	57 5C 00 6E				
0001A0	D0 14 F9 A8	C9 EE 25 09	E1 3F 0C C8	B6 63 0C A6	FF FF FF FF				
0001B4	FF FF FF FF	FF FF FF FF	FF FF FF FF	FF FF FF FF	FF FF FF FF				
0001C8	FF FF FF FF	FF FF FF FF	FF FF FF FF	FF FF FF FF	FF FF FF FF				
0001DC	FF FF FF FF	FF FF FF FF	FF FF FF FF	FF FF FF FF	FF FF FF FF				

Memory

k1

k2

k3

k4

k0

k5

kunci rahasia

Gambar 4.2 Hasil Ekspansi Kunci Rahasia

4.2.2 Hasil Simulasi Enkripsi

Hasil simulasi Plaintext dimasukkan ke R0 s/d R15 (128 bit / 16 byte) diperlihatkan pada Gambar 4.3.

Name	Val...
Register 0-15	
0	0x32
1	0x43
2	0xF6
3	0xA8
4	0x88

Register	8/16	abc.	Address: 0x0	Cols: Auto
000000	32 43 F6 A8	88 5A 30 8D	31 31 98 A2	E0 37 07 34

Gambar 4.3 Plaintext Dimasukkan ke R0 s/d R15

Keluaran Dekripsi:

plaintext : 32 43 f6 a8 88 5a 30 8d 31 31 98 a2 e0 37 07
34

4.2.4 Hasil Simulasi Kinerja

Hasil simulasi kinerja dari rutin enkripsi dan dekripsi yang diimplementasikan pada mikrokontroler ATMEL AVR ATmega 8 adalah sebagai berikut:

4.2.4.1 Kebutuhan Memori

- Kebutuhan memori pada program ekspansi kunci rahasia:

Segment	Begin	End	Code	Data	Used	Size	Use%
[.cseg]	0x000000	0x00023a	314	256	570	8192	7.0%
[.dseg]	0x000060	0x000060	0	0	0	1024	0.0%
[.eseg]	0x000000	0x000000	0	0	0	512	0.0%

- Kebutuhan memori pada program enkripsi:

Segment	Begin	End	Code	Data	Used	Size	Use%
[.cseg]	0x000000	0x0002fa	506	256	762	8192	9.3%
[.dseg]	0x000060	0x000060	0	0	0	1024	0.0%
[.eseg]	0x000000	0x000000	0	0	0	512	0.0%

- Kebutuhan memori pada program dekripsi:

Segment	Begin	End	Code	Data	Used	Size	Use%
[.cseg]	0x000000	0x0004c2	962	256	1218	8192	14.9%
[.dseg]	0x000060	0x000060	0	0	0	1024	0.0%
[.eseg]	0x000000	0x000000	0	0	0	512	0.0%

- Kebutuhan memori pada program enkripsi dan dekripsi:

Segment	Begin	End	Code	Data	Used	Size	Use%
[.cseg]	0x000000	0x0006f0	1264	512	1776	8192	21.7%
[.dseg]	0x000060	0x000060	0	0	0	1024	0.0%
[.eseg]	0x000000	0x000000	0	0	0	512	0.0%

Implementasi program enkripsi, dekripsi, dan ekspansi kunci rahasia lebih efisien diimplementasikan secara bersama karena program enkripsi, dekripsi, dan ekspansi kunci rahasia menggunakan beberapa subrutin yang sama.

4.2.4.2 Kecepatan Eksekusi

• Kecepatan (cycle):

ekspansi kunci rahasia (key) = 2715 cycle

enkripsi:

- persiapan = 39 cycle
- initial_round = 64 cycle
- 9 iterasi_round = 6625 cycle
- final_round = 510 cycle
- total = 7238 cycle

dekripsi:

- persiapan = 39 cycle
- inv_initial_round = 64 cycle
- inv_iterasi_round = 14848 cycle
- inv_final_round = 510 cycle
- total = 15461 cycle

Satu cycle pada mikrokontroler AVR ATmega 8 sama dengan perioda kristal (osilator) yang terpasang pada mikrokontroler tersebut. Contoh, kristal yang digunakan adalah 4 MHz maka perioda (T) = 25 us sehingga 1 cycle sama dengan 25 us. Kecepatan eksekusi ekspansi kunci rahasia, subrutin enkripsi dan dekripsi dalam detik adalah:

- ekspansi kunci rahasia = $2715 \times 25 \text{ us} = 67875 \text{ us}$
= 67,875 ms
- enkripsi = $7238 \times 25 \text{ us} = 180950 \text{ us}$
= 180,95 ms

- dekripsi $= 15461 \times 25\text{us} = 386525 \text{ us}$
 $= 386,525 \text{ ms}$

5 KESIMPULAN

Dari hasil pembahasan pada bab sebelumnya dapat diambil kesimpulan sebagai berikut:

- enkripsi/dekripsi AES (Rijndael) dapat diimplementasikan pada mikrokontroler ATMEL AVR ATmega 8 karena hanya membutuhkan 21,7% dari kapasitas memori program yang dimiliki.
- algoritma dekripsi membutuhkan ruang memori yang lebih banyak dan waktu eksekusi yang lebih lama dari pada algoritma enkripsi.
- subrutin iterasi_round dan inv_iterasi_round memerlukan waktu eksekusi yang paling besar pada masing-masing algoritma.

6 DAFTAR PUSTAKA

1. J. Daemen, Vincent Rijmen, September 3, *AES Proposal: Rijndael, AES Algorithm Submission*, 1999, NIST. <http://csrc.nist.gov/encryption/aes>
2. Dr Brian Gladman, May 2002, *A Specification for Rijndael, the AES Algorithm*.
3. Sungha Kim, Ingrid Verbauwhede, September 2002, *AES Implementation on 8-bit Microcontroller*, Department of Electrical Engineering University of California, Los Angeles, USA.
4. Datasheet, 2005, *8 bit Mikrokontroler With 16 Kbyte In-System Programming Flash ATmega8*, ATMEL Co, www.atmel.com.

INTERNAL INTEGRATED MARKETING STRATEGI UNTUK MERAH KEUNGGULAN BERSAING JANGKA PANJANG

Oleh: Budi Sugiharjo

ABSTRAK

Persaingan bisnis di era yang penuh gejolak bahkan cenderung turbulen ini, menjadikan banyak macam strategi pemasaran klasik yang bersifat parsial tidak lagi mampu mendatangkan hasil maksimal. Di tengah-tengah situasi di mana masyarakat begitu mudah mendapatkan informasi, maka konsumen digambarkan sebagai sosok manusia yang penuh dengan informasi dan pengetahuan. Konsumen tidak lagi bisa dipengaruhi dengan berbagai janji iklan yang tidak memberikan bukti. Secara psikologis kini masyarakat juga tidak senang jika mengetahui bahwa dirinya sedang disegmenkan untuk selanjutnya dibidik menjadi target pasar usaha penjualan suatu produk perusahaan. Model pemasaran dengan pendekatan parsial, dan memposisikan konsumen atau calon konsumen sebagai pihak luar dan pihak lain atau liyan, dipastikan tidak akan mampu lagi digunakan untuk mempertahankan atau mendongkrak volume penjualan jangka panjang. Didasari oleh pemikiran yang demikian, maka penulis menawarkan suatu model pemasaran baru yang disebut dengan "*Internal Integrated Marketing*" sebagai suatu alternatif model pemasaran yang jauh lebih efektif dan efisien untuk usaha mempertahankan atau meningkatkan volume penjualan jangka panjang suatu perusahaan atau institusi non bisnis.

Kata Kunci: Internal, Integrated, Marketing, Pemasaran horizontal, Pemasaran vertikal, stakeholders, dan komunitas.